

# Automação em Tempo Real: Trabalho Final

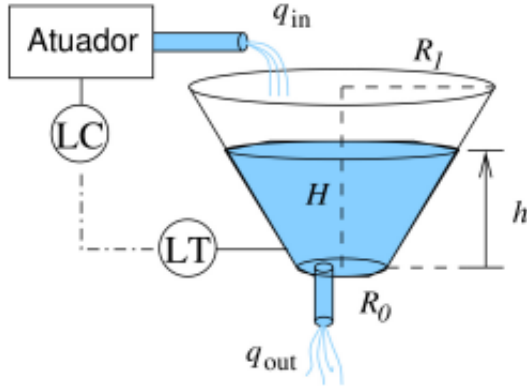
UNIVERSIDADE FEDERAL DE MINAS GERAIS

Júlia de Backer Pacífico — 2019021476

Junho de 2022

## I. INTRODUÇÃO

O presente trabalho propõe uma situação de controle clássica, ilustrada pela Figura 1, em que um tanque, cuja área de secção transversal varia com a altura, é preenchido por um líquido.



**Figura 1:** Processo industrial simulado

Nesse processo, o nível do tanque  $h(t)$  é fornecido por um transmissor de nível **LT**. Por outro lado, a entrada de líquido no tanque  $q_{in}(t)$  é governada por meio de um atuador, que por sua vez é regulado por um controlador de nível **LC**. Em contrapartida, a saída do tanque é expressa por

$$q_{out}(t) = C_v \sqrt{h}, \quad (1)$$

em que  $C_v$  coeficiente de descarga da saída do tanque.

Portanto, a dinâmica não linear do tanque segue a equação (2) mostrada abaixo:

$$h(t) = \frac{-C_v \sqrt{h(t)}}{\pi[R_0 + \alpha h(t)]^2} + \frac{u(t)}{\pi[R_0 + \alpha h(t)]^2}, \quad (2)$$

onde  $u(t) = q_{in}(t)$  e  $\alpha = \frac{R_1 - R_0}{H}$ .

Dessa forma, foi projetado um sistema de tempo real que simula a situação exposta acima em um programa em Python. Para isso, foi estabelecido uma comunicação por

protocolo tcp/ip entre dois programas, seguindo a arquitetura cliente-servidor: um deles simula a planta de controle (o cliente) e o outro representa um painel sinóptico (o servidor).

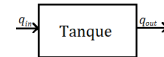
O programa cliente ("plant.py") possui três threads: uma para simulação da dinâmica do tanque, outra para a simulação de um controlador PID, e ainda uma última para a coordenação do período de simulação de cada uma das demais threads (50ms para a thread da dinâmica tanque e 25ms para a thread de controle). Já o programa servidor ("synoptic.py"), ao se conectar com o cliente, requisita um valor de entrada como referência à altura que se deseja manter no tanque cônico pelo método de controle.

Aferido um valor desejado para a altura  $h$ , o sistema de controle é iniciado no programa cliente. Durante a simulação de tempo limitado (neste trabalho, imposta para 15 segundos de duração), o programa cliente envia os valores das vazões de entrada e saída para o processo sinóptico, junto da altura  $h$  atual

## II. SIMULAÇÃO DA PLANTA DE CONTROLE

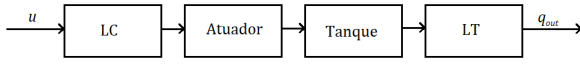
### II.1. Modelagem do tanque cônico

Com base na representação de diagrama de blocos, pode-se representar a dinâmica do tanque por um subsistema em malha aberta cuja entrada e saída sejam dadas, respectivamente, pelas vazões  $q_{in}$  e  $q_{out}$ . Dessa forma, a função de transferência para o bloco da Figura 2 se torna a própria função  $h(t)$ , exposta na Equação 2.



**Figura 2:** Dinâmica do tanque

Assim, o processo em malha aberta pode ser representado pelo diagrama de blocos da Figura 3.



**Figura 3:** Processo sem o sistema de controle

Dessa forma, nota-se que o processo aborda um sistema dinâmico não-linear de 4ª ordem. Por essa razão, para simular a dinâmica do tanque neste trabalho, utilizou-se do método Runge-Kutta de 4ª ordem para solução da equação diferencial da dinâmica do tanque (Equação 2).

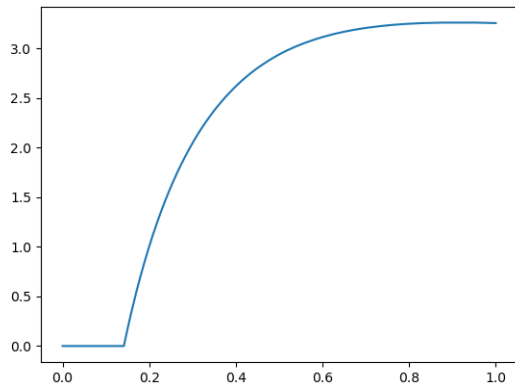
Os parâmetros do tanque modelado se encontram na tabela abaixo:

Parâmetro	Valor
Cv	0,75
H	10 m
R0	1 m
R1	2 m

Assim, a *process\_thread* criada no programa cliente é encarregada por simular a dinâmica do tanque conforme as equações descritas. Dessa forma, ao acessar sua seção crítica, ela retorna novos valores para a altura relativa  $h$  do tanque e para a vazão de saída  $q_{out}$ , ambos em função da vazão de entrada  $q_{in}$  manipulada pela *softPLC\_thread*.

## II.2. Sistema de controle e comunicação via socket

Para controle da planta representada pelo tanque cônico, o controlador projetado consiste em um simples PID. Sua implementação se deu pela biblioteca "simple-PID" e seus parâmetros foram definidos por aproximação segundo o método de Tustin.



**Figura 4:** Simulação do controlador com referência  $h = 3m$

Portanto, ao entrar em sua seção crítica, a *softPLC\_thread* retorna um novo valor para a vazão de entrada  $q_{in}$ , a partir da altura relativa  $h$  do tanque, regida pela *process\_thread*.

Além disso, logo que iniciada a execução do programa cliente, a *softPLC\_thread* também é responsável por solicitar comunicação via socket com o programa servidor. Estabelecida a comunicação entre processos, ela então recebe um valor de referência desejado para a altura  $h$  e o processo de controle é iniciado.

## II.3. Implementação da planta de controle em tempo real

No programa cliente, que representa a planta de controle do processo em questão, apenas uma thread por vez pode alterar as variáveis globais  $h$ ,  $q_{in}$  e  $q_{out}$ . Por essa razão, o acesso simultâneo a qualquer uma delas é protegido por um mutex. Dessa forma, ilustrando um problema de característica "consumidor x produtor", a *softPLC\_thread* só executa sua seção crítica quando a *process\_thread* não tiver a posse do mutex, e vice-versa.

Além disso, para definir o tempo de execução de ambas as threads, foi implementado um sistema de eventos no programa cliente. Dessa forma, um evento foi configurado para ser habilitado conforme o período de simulação de cada thread — portanto, o evento responsável por habilitar a *softPLC\_thread* é ativado a cada 25ms; já o evento que habilita a *process\_thread*, a cada 50ms.

A alternância entre os eventos é executada por uma terceira thread: a *timers\_thread*, cujo efeito prático é apenas garantir o período de execução das demais.

## III. SIMULAÇÃO DO SISTEMA SUPERVISÓRIO

O programa servidor deve ser o primeiro iniciado na simulação proposta neste trabalho. Logo que em execução, ele abre um socket para um servidor de endereço e porta fixos, conhecidos pelo cliente instanciado na planta de controle, e se comunica por protocolo IPv4.

Reconhecida a conexão do programa cliente, o *synoptic\_process* — também responsável por instanciar o servidor — requisita do operador do sinóptico um valor  $h_{ref}$  desejado para a altura de controle. Após verificar que o valor de referência não ultrapassa a altura máxima  $H = 10m$  do tanque, o sinóptico envia  $h_{ref}$  à planta de controle pelo socket e aguarda o recebimento das informações esperadas da planta de controle.

Enquanto a simulação deste sistema em tempo real estiver em curso, o socket é mantido aberto e o processo sinóp-

tico imprime os valores recebidos. Paralelamente, ele também verifica a existência de um arquivo "historiador.txt" no diretório de execução do programa. Caso não exista, o processo cria um novo arquivo de mesmo nome; do contrário, ele apenas abre o arquivo preexistente e concatena as informações advindas da planta de controle.

O processo mantém sua execução até que a comunicação seja encerrada pelo programa cliente, o que acontece decorridos os 15 segundos predefinidos como tempo total desta simulação. O valor para este tempo pode ser alterado em código e em nada influencia quaisquer dos processos executados.

#### IV. RESULTADOS E CONCLUSÕES

Os resultados obtidos em testes para diversos valores de entrada foram satisfatórios. Conforme ilustrado na Figura 4, o controlador implementado segue corretamente a referência imposta e, portanto, o valor final da altura relativa condiz com o desejado.

Adiante, a Figura 5 mostra a interface dos programas cliente e servidor, que simulam respectivamente a planta de controle e o sistema supervisor.

```
Qin: 5.873 m³/s; h: 2.852 m; Qout: 1.267m³/s
Qin: 4.836 m³/s; h: 2.877 m; Qout: 1.272m³/s
Qin: 2.814 m³/s; h: 3.08 m; Qout: 1.316m³/s
Qin: 2.678 m³/s; h: 3.093 m; Qout: 1.318m³/s
Qin: 2.547 m³/s; h: 3.105 m; Qout: 1.322m³/s
Qin: 2.426 m³/s; h: 3.116 m; Qout: 1.324m³/s
Qin: 2.304 m³/s; h: 3.127 m; Qout: 1.326m³/s
Qin: 2.182 m³/s; h: 3.137 m; Qout: 1.328m³/s
Qin: 2.069 m³/s; h: 3.146 m; Qout: 1.33m³/s
Qin: 1.787 m³/s; h: 3.178 m; Qout: 1.337m³/s
Qin: 1.618 m³/s; h: 3.185 m; Qout: 1.338m³/s
Qin: 1.542 m³/s; h: 3.191 m; Qout: 1.34m³/s
Qin: 1.464 m³/s; h: 3.197 m; Qout: 1.341m³/s
Qin: 1.396 m³/s; h: 3.202 m; Qout: 1.342m³/s
Qin: 1.327 m³/s; h: 3.207 m; Qout: 1.343m³/s
Qin: 1.254 m³/s; h: 3.212 m; Qout: 1.344m³/s
Qin: 1.194 m³/s; h: 3.216 m; Qout: 1.345m³/s

Qin: 1.133 m³/s; h: 3.22 m; Qout: 1.346m³/s
Qin: 1.072 m³/s; h: 3.224 m; Qout: 1.347m³/s
Qin: 1.021 m³/s; h: 3.227 m; Qout: 1.347m³/s
Qin: 0.97 m³/s; h: 3.23 m; Qout: 1.348m³/s
Qin: 0.918 m³/s; h: 3.233 m; Qout: 1.349m³/s
Qin: 0.866 m³/s; h: 3.236 m; Qout: 1.349m³/s
Qin: 0.824 m³/s; h: 3.238 m; Qout: 1.35m³/s
Qin: 0.781 m³/s; h: 3.24 m; Qout: 1.35m³/s
Qin: 0.739 m³/s; h: 3.242 m; Qout: 1.35m³/s
Qin: 0.696 m³/s; h: 3.244 m; Qout: 1.351m³/s

Qin: 0.663 m³/s; h: 3.245 m; Qout: 1.351m³/s
Qin: 0.63 m³/s; h: 3.246 m; Qout: 1.351m³/s
Qin: 0.597 m³/s; h: 3.247 m; Qout: 1.351m³/s
Qin: 0.564 m³/s; h: 3.248 m; Qout: 1.352m³/s
Qin: 0.53 m³/s; h: 3.249 m; Qout: 1.352m³/s
Qin: 0.508 m³/s; h: 3.249 m; Qout: 1.352m³/s
Qin: 0.48 m³/s; h: 3.249 m; Qout: 1.352m³/s

connection terminated
```

Figura 5: Saída no prompt de comando

Conclui-se, portanto, que a linguagem Python é eficaz na simulação de sistemas em tempo real, uma vez que dispõe de diversas ferramentas que viabilizam o uso de diretivas do sistema operacional no controle de variáveis compartilhadas. O valor final para a altura relativa, ainda que não seja exatamente igual ao fornecido como referência, também é considerado satisfatório, uma vez que o erro de aproximação se dá na ordem de casas decimais.

#### V. FONTES

V.1. "Runge-Kutta methods for ODE integration in Python"— [github.com/Naeeren/notebooks](https://github.com/Naeeren/notebooks)

V.2. "Implementing PID Controllers in Python"— [pub.dev/packages/simple\\_pid](https://pub.dev/packages/simple_pid)